5 Conception technique de la chaîne de manutention

5.1 Grandeurs de calcul

	Symbole			Symbole	
Dénomination	de formule	Unité	Dénomination	de formule	Unité
Force de traction totale de la chaîne	F	Ν	Densité	φ	
Force de traction du périmètre de chaîne en tout	F_g	N	Coefficient de friction entre la douille et le galet de roulement	μ_3	
Force de traction du périmètre de chaîne par ligne de chaîne	F_i	N	Diamètre intérieur du brin lâché	f	m
Force de traction du support de chaîne (en fonction du fléchissement)	F_s	N	Coefficient de friction (entre le matériau à manutentionner et l'acier)	μ_4	
Force de traction centrifuge	F_f	N	Entraxe de la charge isolée	I_s	m
de la chaîne	' †	11	Coefficient de résistance au roulement	μ_2	
Force de prétension de la chaîne	F_{v}	N	Vitesse de la chaîne	V	m/s
Résistance à la traction	F_b	Ν	Coefficient de friction de glissement	μ_1	
Nombre de lignes de chaînes	i		Surface articulée de la chaîne	A_K	cm²
Hauteur de manutention	Н	m	Espacement du diamètre	a _d	m
Longueur de manutention horizontale	В	m	intérieur	α _a	
Entraxe	а	m	Coefficient de sécurité	k	
Angle d'inclinaison du convoyeur	α	° (degré)	Longueur de la chaîne depuis le brin lâché	l _d	m
Masse de la chaîne par mètre de chaîne	M_K	kg/m	Pressage de surface articulée effectif	P_{eff}	N/mm²
Masse du bien à manuten- tionner par mètre de chaîne	M_F	kg/m	Pression de surface articulée autorisée	P_{zul}	N/mm²
Capacité de manutention	Q_S	unité/h	Pas de chaîne	р	m
(unité)	αs	ariito/ii	Vitesse angulaire	ω	S ⁻¹
Capacité de manutention (masse)	Q_{M}	t/h	Nombre de dents	Z	
Largeur interne	b	m	Diamètre primitif de référence	d_0	m
de manutention			Puissance du moteur de l'entraînement	Р	kW
Hauteur interne de manutention	h	m	Rendement de l'entraînement	η	
Superficie de la section du convoyeur	A_{M}	m²			
Masse en vrac du matériau à manutentionner	γ	t/m³			

5.2 Type de convoyeurs

Les convoyeurs sont classés dans deux principales catégories:

- · chaînes de manutention à glissement
- · chaînes de manutention à roulement

Il faut en outre opérer une distinction entre les configurations ci-après:

- · manutention horizontale
- manutention diagonale
- · manutention verticale
- · manutention combinée

5.3 Masse totale du matériau à manutentionner

C'est à dire la masse totale du bien à manutentionner chargé ou devant être déplacé sur les chaînes de manutention ou sur des éléments porteurs (plaques, poutres transversales, entretoises, convoyeurs à charnières, etc.).

Selon la répartition de la charge sur la chaîne de manutention, il faut distinguer la charge ponctuelle, la charge isolée et la charge linéaire. Lors de la conception de la chaîne de manutention, il faut, en cas de charge concentrée, recalculer une surface réduite des axes de chaîne et en plus la flexion et la pression pour les galets de roulement.

5.4 Charge admissible des galets de roulement

La charge admissible des galets de roulement dépend du matériau des galets, du type de palier, de la vitesse de chaîne, de la température et de la lubrification. Les galets de roulement en acier à surface trempée sont autorisés à supporter une charge pouvant atteindre jusqu'à 800 N/cm² à une vitesse de chaîne peu élevée (< 0,25m/s) et une pression de surface suffisante.

Les galets de roulement en acier revenu ou non trempé, en fonte grise ou en matière plastique sont dotés de pressions de palier admissibles plus faibles (cf. tableaux ci-après).

Les avantages des galets de roulements en matières plastiques:

- · Absence d'entretien
- · Construction léaère
- · Fonctionnement peu bruyant
- Grande résistance aux produits chimique.

Il est en outre possible d'améliorer les caractéristiques de glissement des galets de roulement par des coussinets. Les bronzes plombifères (pressions de surface jusqu'à 300 N/cm²) ainsi que des matériaux de palier spéciaux pour un fonctionnement nécessitant peu d'entretien sont des matériaux de palier appropriés.

Les tableaux ci-après 3a et b indiquent les charges admissibles de rouleaux pour les chaînes de manutention selon DIN 8165 et DIN 8167 qui doivent être multipliées conformément à la formule indiquée par les facteurs de correction correspondants des tableaux 4 à 8:

Charge admissible du galet de roulement = valeur de tableau $\cdot f_1 \cdot f_2 \cdot f_3 \cdot f_4 \cdot f_5$

Chaîne selon DIN 8165	Association de matériaux Douille / rouleau C15E/C15E C15E/9SMn28E	Chaîne selon DIN 8167	Association de matériaux Douille / rouleau C15E/C15 E C15E/9SMn28E
FVT 40 FVT 63 FVT 90 FVT 112 FVT 140 FVT 250 FVT 315 FVT 400 FVT 500 FVT 630	2000 3000 3800 5100 7050 10550 15550 21500 23900 31200 39400	MT 20 MT 28 MT 40 MT 56 MT 80 MT 112 MT 160 MT 224 MT 315 MT 450 MT 630	1050 1350 1900 2750 3850 5200 7200 10050 13500 18450 26000

Tab. 3: charge admissible des galets de roulement (N/rouleau) pour les chaînes porteuses à rouleaux selon DIN 8165 et DIN 8167

Type de rouleau	f ₁	Matériau de rouleau (douille en acier de cémentation trempé)	f ₂
Galet de roulement Galet épaulé	1,0 0,9	Acier de cémentation trempé Acier inoxydable trempé Acier inoxydable non trempé Acier standard non trempé Fonte grise	1,00 0,60 0,30 0,20 0,12

Tab. 4: Facteur f1: type de rouleau

Ta	b.	5:	Fac	eur	f2:	ma	tér	iau	de	rou	leau

Conditions de lubrification	f ₃
lubrification suffisante, sans impuretés ou rugosité	1,0
lubrification insuffisante, sans impuretés ou rugosité sans lubrification avec beaucoup d'impuretés et rugosité	0,4 - 0,6 0,2 - 0,35

Tab. 6: Facteur f3: lubrification

Vitesse de chaîne en m/s	f ₄	Température en °C	f ₅
0,10	1,15	20 - 200	1,00
0,25	1,00	200 - 260	0,50
0,50	0,85	260 - 285	0,25
1,00	0,50	285 - 300	0,15

Tab. 7: Facteur f4: Vitesse de chaîne

Tab. 8: facteur f5: température

Association	Pression de	
Rouleau	Douille	palier spécifique max. en N/cm²
Acier de cémentation trempé Acier d'amélioration revenu Acier non trempé Fonte grise Bronze	Acier de cémentation trempé " " " " " "	800 300 160 100 300
Polyamide 6	" "	50

Tab. 9: valeurs maximales admissibles de la pression spécifique

5.5 Coefficients de friction

5.5.1 Friction de glissement des chaînes sur une base en régime permanent

	μ_1			
Matériau de la glissière	Lubrification	Lubrification		
	insuffisante	correcte		
Acier	0,35	0,25		
Matière plastique	0,20	0,15		
Bois dur	0,30	0,25		

Tab. 10: coefficient de friction de glissement μ_1

5.5.2 Friction de roulement des chaînes en acier

Coefficient de résistance au roulement $\mu_2 = \frac{2 \cdot c + \mu_3 \cdot d_3}{d_5}$ μ_2	₂ = 0,08 <u>0,12</u> 0,18
--	--------------------------------------

 d_3 = diamètre de douille [mm] d_5 = diamètre de rouleau [mm]

c = coefficient expérimental,

dépendant du matériau et de la rugosité de la surface de contact

Conditions de guidage c

0,5 rouleau en acier sur guide en acier avec surface lisse

0,6 valeur moyenne

1,0 rouleau en acier sur guide en acier avec surface rugueuse

Tab. 11: coefficient c en fonction du matériau et de la surface de contact

Association de matériau	μ_3		
rouleau / douille	Lubrification insuffisante	Lubrification correcte	
Rouleau en acier sur douille	0,30	0,20	
Rouleau avec douille en bronze sur douille enacier	-	0,15	
Rouleau en PA6 sur douille en acier	0,15	0,10	
Rouleau avec palier à roulement sur douille en acier	0,03	0,015 0,005	

Tab. 12: coefficient de friction entre le rouleau et la douille μ_3

5.5.3 Coefficient de friction entre le matériau à manutentionner et l'acier μ_4 , Poids en vrac γ et densité ϕ

Cendres 0,85 0,50 0,70 Minerai 1,20 2,25 0,60 Céréales 0,50 0,65 0,80 Copeaux de bois 0,80 0,25 0,75 Gravier 1,00 1,75 0,65 Charbon 0,90 0,80 0,50 Coke 1,00 0,45 0,60 Limon 0,75 1,25 0,70 Farine 0,50 0,60 0,70	Type de matériau à manutentionner	Coefficient de friction μ_4	Poids en vrac γ en t/m³	Densité φ
Sable 0,80 1,55 0,60 Cailloutis 0,65 1,80 0,65 Tourbe 0,70 0,40 0,80 Ciment 0,65 1,20 0,70	Minerai Céréales Copeaux de bois Gravier Charbon Coke Limon Farine Sable Cailloutis Tourbe	1,20 0,50 0,80 1,00 0,90 1,00 0,75 0,50 0,80 0,65 0,70	2,25 0,65 0,25 1,75 0,80 0,45 1,25 0,60 1,55 1,80 0,40	0,60 0,80 0,75 0,65 0,50 0,60 0,70 0,70 0,60 0,65 0,80

Tab. 13: coefficient de friction entre le matériau à manutentionner et l'acier, poids en vrac et densité

5.6 Calcul de la force de traction totale d'une chaîne F

La force de traction totale d'une chaîne F est obtenue en additionnant la force de traction du périmètre total F_a , la force de traction d'appui de chaîne F_s et la force de traction centrifuge de chaîne F_f .

$$F = F_a + F_s + F_f$$

5.6.1 Force de traction d'appui de chaîne F_s

La force de traction d'appui de chaîne se produit lorsque la chaîne est fléchie et dépend de la masse propre de la chaîne et de la longueur du brin lâché.

$$F_s = \frac{M_K \cdot 9.81 \cdot a_d^2}{8 \cdot f} \cdot \sqrt{1 + 16 \cdot \frac{f^2}{a_d^2}}$$

Le fléchissement f étant déterminé à partir de l'équation suivante:

$$f = \sqrt{0.375 \cdot a_d \cdot (l_d - a_d)}$$
 (f devrait être sélectionné ≈ 10% de a_d)

5.6.2 Force de traction centrifuge de chaîne F_f

La force de traction centrifuge de la chaîne est une force de traction dépendant de la vitesse de la chaîne v et du diamètre du pignon de chaîne qui doivent être considérés comme composants de la force de traction totale de la chaîne, surtout en cas de vitesses de chaîne élevées.

$$F_f = M_K \cdot v^2$$

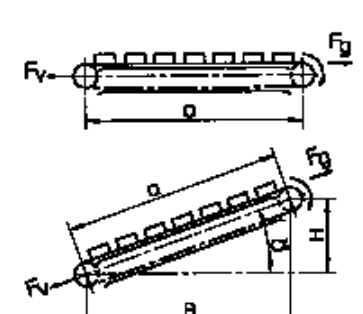
L'équation suivante s'applique : $v = \omega \cdot \frac{d_0}{2}$; $\omega = 2 \cdot p \cdot n$ (n = nombre de rotations du pignon de chaîne en s^1)

5.6.3 Force de traction du périmètre de chaîne F_g

La force de traction du périmètre (force utile) résulte du couple de l'entraînement par chaîne à transmettre qui dépend des sollicitations de fonctionnement. Vous trouverez ci-après, en fonction du type de convoyeur, quelques formules de calcul permettant de déterminer la force de traction du périmètre total F_g . Pour les convoyeurs composés de plusieurs lignes de chaînes, la force de traction du périmètre de chaîne par ligne F_i est obtenu à partir du rapport:

$$F_i = \frac{F_g}{i}$$

Friction de glissement



$$F_g = 1.1 \cdot a \cdot \mu_1 \cdot 9.81 \cdot \left(2 \cdot M_K + M_F\right)$$

$$Q_S = \frac{3600 \cdot v}{I_S}$$

 $F_v = 2.2 \cdot (F_s + a \cdot \mu_1 \cdot 9.81 \cdot M_K)$

$$\begin{split} F_g &= 1,\!1 \cdot a \cdot 9,\!81 \cdot \left[\left(M_K \! + \! M_F \right) \cdot \left(\mu_1 \cdot \cos \alpha + \sin \alpha \right) + M_K \cdot \left(\mu_1 \cdot \cos \alpha - \sin \alpha \right) \right] \\ si \quad \left(\mu_1 \cdot \cos \alpha - \sin \alpha \right) &< 0 : \\ F_g &= 1,\!1 \cdot a \cdot 9,\!81 \cdot \left(M_K \! + \! M_F \right) \cdot \left(\mu_1 \cdot \cos \alpha + \sin \alpha \right) \end{split}$$

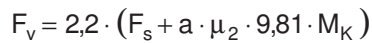
$$\begin{split} F_v &= 2.2 \cdot F_s & \dots \quad \text{si} \quad H/B > \mu_1 \\ F_v &= 2.2 \cdot \left[F_s + 9.81 \cdot M_K \cdot \left(B \cdot \mu_1 - H \right) \right] \quad \dots \quad \text{si} \quad H/B < \mu_1 \end{split}$$

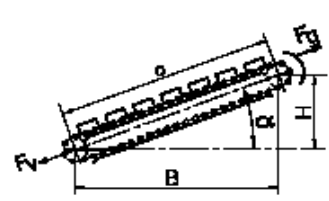
Friction de roulement



$$F_g = 1,1 \cdot a \cdot \mu_2 \cdot 9,81 \cdot \left(2 \cdot M_K + M_F\right)$$

$$Q_S = \frac{3600 \cdot v}{I_s}$$



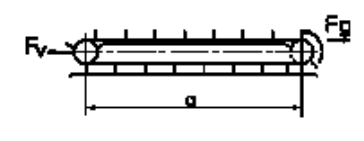


$$\begin{split} F_g &= 1.1 \cdot a \cdot 9.81 \cdot \left[\left(M_K + M_F \right) \cdot \left(\mu_2 \cdot \cos \alpha + \sin \alpha \right) + M_K \cdot \left(\mu_2 \cdot \cos \alpha - \sin \alpha \right) \right] \\ si &\quad \left(\mu_2 \cdot \cos \alpha - \sin \alpha \right) < 0 : \\ F_g &= 1.1 \cdot a \cdot 9.81 \cdot \left(M_K + M_F \right) \cdot \left(\mu_2 \cdot \cos \alpha + \sin \alpha \right) \end{split}$$

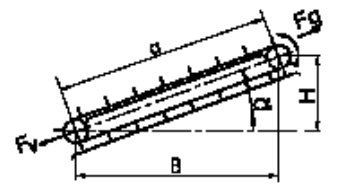
$$\begin{split} F_v &= 2.2 \cdot F_s & \dots \quad \text{si} \quad H/B > \mu_2 \\ F_v &= 2.2 \cdot \left[F_s + 9.81 \cdot M_K \cdot \left(B \cdot \mu_2 - H \right) \right] & \dots \quad \text{si} \quad H/B < \mu_2 \end{split}$$

Convoyeur à chaîne à plateaux

$$\begin{split} F_g &= 1.1 \cdot a \cdot 9.81 \cdot \left(2 \cdot M_K \cdot \mu_1 + \frac{Q_M}{3.6 \cdot v} \cdot \mu_4 \right) \\ F_v &= 2.2 \cdot \left(F_s + a \cdot \mu_1 \cdot 9.81 \cdot M_K \right) \end{split}$$



$$F_{g} = 1.1 \cdot a \cdot 9.81 \cdot \left[\begin{array}{l} M_{K} \cdot \left(\mu_{1} \cdot \cos \alpha + \sin \alpha \right) + \frac{Q_{M}}{3.6 \cdot v} \cdot \left(\mu_{4} \cdot \cos \alpha + \sin \alpha \right) + \\ M_{K} \cdot \left(\mu_{2} \cdot \cos \alpha - \sin \alpha \right) \end{array} \right]$$



$$\begin{split} \text{si} \quad & \left(\mu_1 \cdot \cos \alpha - \sin \alpha \right) < 0 : \\ F_g &= 1,\! 1 \cdot a \cdot 9,\! 81 \cdot \left[\begin{array}{c} M_K \cdot \left(\mu_1 \cdot \cos \alpha + \sin \alpha \right) + \frac{Q_M}{3.6 \cdot v} \cdot \left(\mu_4 \cdot \cos \alpha + \sin \alpha \right) \end{array} \right] \end{split}$$

$$\begin{split} F_v &= 2.2 \cdot F_s & \dots \quad \text{si} \quad H/B > \mu_1 \\ F_v &= 2.2 \cdot \left[F_s + 9.81 \cdot M_K \cdot \left(B \cdot \mu_1 - H \right) \right] & \dots \quad \text{si} \quad H/B < \mu_1 \end{split}$$

5.7 Détermination de la résistance à la traction nécessaire de la chaîne F_b

$$F_b = k \cdot F_i$$

Facteur de sécurité k

$$k = 5 ... 7 ... 12$$

Le facteur de sécurité k dépend surtout des conditions de fonctionnement et du nombre de dents du pignon de chaîne. Généralement, k se situe entre 6 et 7.

5.8 Détermination de la puissance d'entraînement requise P

$$P = \frac{F \cdot v}{1000 \cdot \eta} \quad ; \quad \text{avec } \eta = 0.75 \dots \underline{0.8} \dots 0.9$$

5.9 Détermination de la pression de la surface articulée Peff

$$P_{\text{eff}} = \frac{F}{A_K}$$

Diagramme pour Pzul

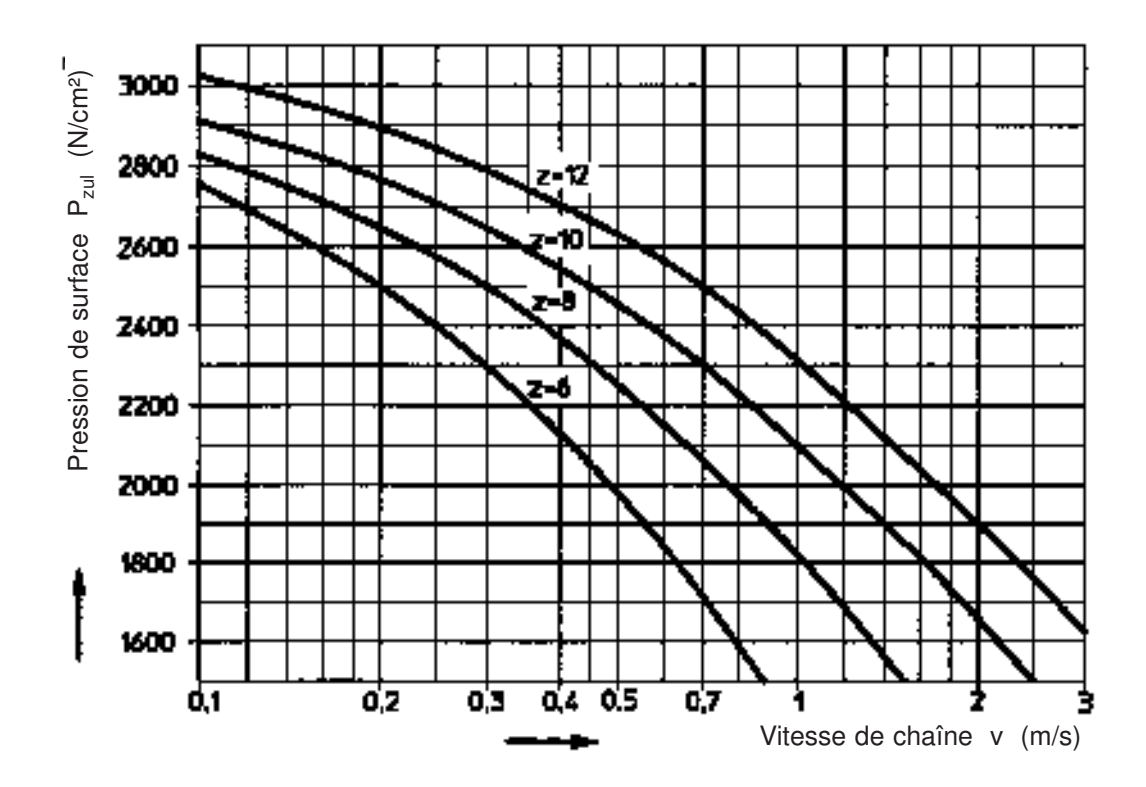


Fig. 7: pression de surface articulée

5.10 Exemples de calcul

Exemple 1 : Convoyeur à plateaux, horizontal

Matériau à manutentionner : Copeaux de bois

Parcours de convoyage : 40 m
Capacité de convoyage : 25 t/h
Largeur interne de convoyage : 400 mm
Hauteur interne de convoyage : 300 mm

Nombre de lignes de chaînes : 1 Nombre de dents du pignon de chaîne : 8

a) Détermination de la vitesse de la chaîne

$$\begin{array}{lll} Q_{M} = 3600 \cdot v \cdot A_{M} \cdot \gamma & A_{M} = b \cdot h \cdot \phi & Q_{M} = 25 \ \frac{V}{h} & A_{M} = 0.4 \cdot 0.3 \cdot 0.75 & \gamma = 0.25 \ (voir section 4.5.3) & \gamma = 0.25 \ (voir section 4.5.3) & \gamma = 0.4 \ m & \gamma = 0.$$

b) Détermination de la force de traction de la chaîne

$$\begin{split} F_g &= 1,\!1 \cdot a \cdot 9,\!81 \cdot \! \left(\ 2 \cdot M_K \cdot \mu_1 + \frac{Q_M}{3,\!6 \cdot v} \cdot \mu_4 \right) & a = 40 \text{ m} \\ F_g &= 1,\!1 \cdot 40 \cdot 9,\!81 \cdot \! \left(\ 2 \cdot 8 \cdot 0,\!35 + \frac{25}{3,\!6 \cdot 0,\!31} \cdot 0,\!8 \right) & \mu_1 &= 0,\!35 \text{ (voir section 4.5.1)} \\ F_g &= \underbrace{10150 \, N}_{} & i = 1 \\ F_{2} &= 10150 \end{split}$$

$$F_i = \frac{F_g}{i} = \frac{10150}{1} = F$$
 (F_s et F_f négligeables)

1. Hypothèse : sélection de la chaîne de manutention à plateaux TF 90 selon tableau page 50 Pas standard : p=125 mm

c) Vérification par calcul de la pression de surface articulée

$$\begin{split} P_{eff} &= \frac{F}{A_{K}} \leq P_{zul} \\ P_{eff} &= \frac{10150 \text{ N}}{5} = \underline{2030 \text{ N/cm}^{2}} < 2500 \text{ N/cm}^{2} \end{split}$$

Taille de chaîne TF 90 correctement choisie!

Exemple 1: Convoyeur à plateaux, horizontal - suite

d) Détermination de la force pré-tension de la chaîne (pré-tension de ressort)

$$F_v = 2.2 \cdot (F_s + a \cdot \mu_1 \cdot 9.81 \cdot M_K)$$
 $F_s = 0$ (car le brin lâché est soutenu)

$$F_v = 2.2 \cdot (0 + 40 \cdot 0.35 \cdot 9.81 \cdot 8)$$
 $M_K = 8 \frac{\text{kg}}{\text{m}}$

$$F_v = 2420 \text{ N}$$
 $\mu_1 = 0.35 \text{ (voir section 4.5.1)}$

e) Puissance d'entraînement requise

$$P = \frac{F \cdot v}{1000 \cdot \eta}$$

$$P = \frac{10150 \cdot 0,31}{1000 \cdot 0,8} = \frac{3,9 \text{ kW}}{1000 \cdot 0,8}$$

$$F = 10150 \text{ N}$$

$$v = 0,31 \text{ m/s}$$

$$\eta = 0,8$$

Exemple 2: Convoyage de palettes

Matériau à manutentionner : palettes Parcours de convoyage : 30 m

Taille de palette : Longueur: 1200 mm, largeur: 800 mm

Masse totale par palette : 600 kg
Nombre de lignes de chaînes : 2
Vitesse de chaîne : 0,2 m/s
Nombre de dents du pignon de chaîne : 10
Nombre max. de palettes : 20 Stück

type de chaîne choisi : chaîne porteuse à rouleaux selon DIN 8165

a) Détermination de la force de traction de la chaîne

$$F_{g} = 1.1 \cdot a \cdot \mu_{2} \cdot 9.81 \cdot \left(2 \cdot M_{K} + M_{F}\right)$$

$$F_{g} = 1.1 \cdot 30 \cdot 0.12 \cdot 9.81 \cdot \left(2 \cdot 11 + 400\right)$$

$$\mu_{2} = 0.12 \text{ (estimée voir section 4.5.2)}$$

$$F_{g} = \frac{16400 \text{ N}}{2}$$

$$M_{g} = 2.55 \text{ kg/} - 11 \text{ kg/}$$

$$M_{K} = 2.5,5 \text{ kg/m} = 11 \text{ kg/m}$$
 $= 16400$

$$\begin{aligned} F_i &= \frac{F_g}{i} = \frac{16400}{2} = \underbrace{8200 \text{ N}}_{\text{piece}} \\ F_b &= k \cdot F_i \end{aligned}$$

$$M_F = \underbrace{\frac{20 \text{ St} \cdot 600 \text{ kg/piece}}{30 \text{ m}}}_{\text{piece}}$$

$$F_b = 7 \cdot 8200 = \underbrace{57400 \text{ N}}_{\text{m}}$$
 $K = \frac{400 \text{ kg}}{\text{m}}$
 $K = 7$

Choix de la chaîne FVT 63, avec une charge de rupture minimale de 63 kN (voir tableau page 44)

Exemple 2: Convoyage de palettes - suite

b) Vérification par calcul de la pression de la surface articulée de la chaîne

$$P_{eff} = \frac{F_{i}}{A_{K}} \le P_{zul}$$

$$F_{i} = 8200 \text{ N}$$

$$A_{K} = 3.7 \text{ cm}^{2} \text{ (voir tableaux pages 44 et 45)}$$

$$P_{zul} = 2780 \text{ N/}_{cm^{2}} \text{ (voir section 4.9)}$$

c) Vérification par calcul de la charge des galets de roulement

Nombre de rouleaux porteurs : 4 Stück Pas de chaîne : 100 mm Masse de palette : 600 kg

Charge de rouleau présente = $\frac{600 \cdot 9,81}{4} = \frac{1472}{\sqrt{\frac{N}{rouleau}}} \approx \frac{1500}{\sqrt{\frac{N}{rouleau}}}$

charge admissible de rouleau : voir section 4.4

Chaîne porteuse à rouleau FVT 63 : 3000 $\frac{N}{r_{ouleau}} \cdot f_1 \cdot f_2 \cdot f_3 \cdot f_4 \cdot f_5$

 $\begin{array}{lll} \text{- Galet de roulement} & & f_1:1,0 \\ \text{- Acier de cémentation, trempé} & & f_2:1,0 \\ \text{- lubrification insuffisante, sans impuretés ou rugosité} & f_3:0,4...0,6 \\ \text{- Vitesse de chaîne} = 0,2 \text{ m/s} & f_4:1,0 \\ \text{- Température ambiante} & 10-25 \text{ °C} & f_5:1,0 \\ \end{array}$

charge admissible de rouleau = $3000 \, \frac{\text{N}}{\text{rouleau}} \cdot 1,0 \cdot 1,0 \cdot 0,4 \cdot 1,0 \cdot 1,0 = \underbrace{1200 \, \frac{\text{N}}{\text{rouleau}}}_{\text{rouleau}}$

charge de rouleau existante = $1500 \frac{N}{rouleau} > \frac{1200 \frac{N}{rouleau}}{rouleau}$

En fonction de la lubrification de la chaîne (facteur f₃) la charge admissible de rouleau peut être dépassée. Il est donc opportun de sélectionner la taille de chaîne au-dessus. FVT 90

d) Puissance d'entraînement requise

$$P = \frac{F_g \cdot v}{1000 \cdot \eta}$$

$$P = \frac{16400 \cdot 0.2}{1000 \cdot 0.8} = \frac{4.1 \text{ kW}}{1000 \cdot 0.8}$$

$$F_g = 16400 \text{ N}$$

$$v = 0.2 \text{ m/s}$$

$$\eta = 0.8$$